



## تجزیه ساختار ژنتیکی تحمل به سرما در لاین‌های نوترکیب برنج ایرانی

مهناز کاتوزی<sup>۱</sup>, سعید نواب پور<sup>۲</sup>, احمد یامچی<sup>۳</sup>, سیده ساناز رمضانپور<sup>۲</sup> و حسین صبوری<sup>۴</sup>

۱- گروه تولیدات گیاهی، دانشکده کشاورزی و منابع طبیعی، دانشگاه گیبدکاووس، (نویسنده مسؤول): hos.sabouri@gmail.com

۲- کارشناسی ارشد، دانشیار و استادیار اصلاح بیانات، دانشگاه علوم کشاورزی و منابع طبیعی گرگان

۳- گروه تولیدات گیاهی، دانشکده کشاورزی و منابع طبیعی، دانشگاه گیبدکاووس، (نویسنده مسؤول):

تاریخ پذیرش: ۹۵/۳/۱۶ تاریخ دریافت: ۹۴/۱۲/۱۸

### چکیده

برنج یکی از مهم‌ترین محصولات کشاورزی ایران و جهان است. تنش‌های محیطی شامل شوری، خشکی و سرما تولید این محصول را محدود می‌نمایند. به منظور اشباع نقشه پیوستگی جمعیت نوترکیب حاصل از تلاقی سبید رود و عنبربو آزمایشی با استفاده از ۹۶ لاین نوترکیب و ۳۵ نشانگر ISSR، در دانشگاه گنبدکاووس اجرا شد. جهت مکان یابی صفات مرتبط با تنش سرما در مرحله گیاهچه لاین‌های مذکور در شرایط هیدرопونیک تحت تنش فوق کشت داده شدند. صفات مورد بررسی شامل وزن ساقه، وزن ریشه، بیوماس، کد ژنتیکی، سطح برگ، طول ساقه، طول ریشه و خاصیت ریشه بودند. نقشه پیوستگی ۱۷۰۹/۲۹ qCLLA-5 مکان یابی گردید. برای سطح برگ، بیوماس، کد ژنتیکی، سطح برگ، طول ساقه و طول ریشه برای زیست توده، qCBM-4 و qCRL-5 برای سطح برگ، طول ساقه و خاصیت ریشه به ترتیب ۱۲/۶، ۱۴/۳، ۱۳/۲ و ۲ درصد از تغییرات مربوط به صفت را توجیه نمودند. با توجه به مشت بودن اثرات افزایشی، از آن‌ها می‌توان پس از تعیین اعتبار در برنامه‌های انتخاب به کمک نشانگر جهت بهبود تحمل گیاهچه‌های برنج به تنش سرما استفاده نمود.

واژه‌های کلیدی: اشباع نقشه ژنتیکی، برنج، تنش غیر‌زنده، نشانگر ISSR

برای محتوای کلروفیل و صدمات سرمایی به عنوان شاخصی برای مقاومت به سرما در مرحله‌ی جوانه‌زنی و تولید مثل دیدیابی نمودند. لو و همکاران (۱۰) با استفاده از روش LOD=۴ مکان یابی مرکب، اثر عمدی QTL‌های با کمتر از LOD=۴ را روی کروموزوم ۱، ۲ و ۸ شناسایی کردند. کل سهم پنج QTL (LOD=۱۵/۰۹) روی کروموزوم ۲ درصد بود و QTL بزرگ اثر (LOD=۱۵/۰۹) روی کروموزوم ۲/۲۸ قرار داشت که توسط RM341 و RM561 احاطه شده بود و ۲۷/۴۲ درصد از کل تنوع فتوتیپی را توجیه کرد. جیانگ و همکاران (۷) مجموعه‌ای از لاین‌های خالص نوترکیب را که از تلاقی بین (Dasanbyeo (ایندیکا) و TR22183 (ژاپونیکا) به دست آمده بودند در مناطق Yanji و Kunming (منطقه مرتفع)، Chancheon (آیاری با آب سرد) و Suwon (شرايط نرمال) برای ارزیابی QTL‌های بزرگ اثر و QTL‌های ایستاتیک با در نظر گرفتن اثر متقابل آنها با محیط برای صفات وابسته، کشت نمودند. شش QTL برای باروری سنبلاچه در سه تیمار سرما شناسایی شد. در این میان چهار QTL روی کروموزوم‌های ۲، ۸، ۱۰ توسعه چندین لاین ایزوژن تحت تیمار سرمایی Chancheon مکان یابی طریف شدند. مجموعاً ۵۷ E-QTL و ۷۶ QTL برای صفات مرتبط با سرما شناسایی شدند که در تمامی ۱۲ کروموزوم توزیع شده بودند. نتایج ثابت کرد که اثرات ایستاتیک و QELS مهم‌ترین ویژگی پارامترهای QTL برای تحمل به سرما در مرحله باروری هستند. برای توسعه واریته‌های متحمل به سرمایی سازگار به طیف وسیعی از تنش‌های سرمایی، راهکار ساده‌تر انتخاب به کمک نشانگر (MAS) برای انباشتن QTL‌های شناسایی شده در محیط‌های متفاوت است. ژو و همکاران (۱۴) مجموعه‌ای از لاین‌های ایزوژن با تحمل به سرما در مرحله زایشی کشت نمودند که از تلاقی واریته بسیار متحمل به سرمایی ژاپونیکای (KMXBG) با واریته

### مقدمه

تنش سرما یکی از معمول‌ترین و رایج‌ترین تنش محیطی دوران جوانه‌زنی گیاه محسوب می‌شود. در مناطق معتدل و در مورد گیاهانی که در فصل گرم کاشته می‌شوند این مساله یک امر اجتناب‌ناپذیر است، به خصوص در جایی که کشت زودهنگام از هر نظر دارای مزیت می‌باشد (۱۱). زنگ و همکاران (۱۸) سه QTL بزرگ اثر روی کروموزوم ۱، ۳ و ۹ و ۱۲ برای صدمات سرمایی جوانه‌ی برنج تحت دمای پایین مکان یابی نمودند. همچنین آنها جایگاه RM160 را روی کروموزوم ۹ یافته‌اند که رشد جوانه، کلروز، پژمردگی و مرگ گیاه را تحت تأثیر قرار می‌دهند. آنداها و مکیل (۱) یک QTL بزرگ اثر را روی کروموزوم ۱۲ شناسایی کردند و آن را qCTS12a هم‌ستگی داشت و حدود ۴۱ درصد تنوع فتوتیپی را شامل می‌شد. لی و همکاران (۹) در لاین خالص نوترکیب به وجود آمده از تلاقی بین *Oryza rufipogon* و *Hwayeongbyeo* QTL ۱۹ وابسته به مقاومت به سرما را شناسایی کردند. آنها نتیجه گرفته‌اند که *Oryza rufipogon* به عنوان منبعی از آلل‌های با ارزش، برای اصلاح برنج سودمند است. زنگ و همکاران (۱۷) یک QTL در کروموزوم ۱، ۳، ۵، ۶، ۷ و ۹ QTL در کروموزوم ۱۱ یافته‌اند که جوانه‌زنی بالا در دمای پایین را کنترل می‌کنند. همچنین آنها پی برند که هفت QTL در کروموزوم ۱، ۲، ۵، ۶، ۷ و ۸ قرار دارند که صدمات کلروزی را کنترل می‌کنند. آنداها و مکیل (۱) مقاومت به سرما را با استفاده از درصد اندازه‌گیری کردند و QTL های روی کروموزوم‌های ۱، ۲، ۳، ۵، ۶، ۷ و ۱۲ را ردیابی کردند که مقاومت به سرما را در مرحله‌ی آبستنی کنترل می‌کردند. زن و همکاران (۱۶) QTL ۱۱ روی کروموزوم‌های ۳، ۴، ۷، ۸ و ۱۱ را با استفاده از درصد آندازه‌گیری کردند و QTL های روی کروموزوم‌های ۱، ۲، ۳، ۵، ۶، ۷ و ۱۲ را ردیابی کردند که مقاومت به سرما را در مرحله‌ی آبستنی کنترل می‌کردند. زن و

شکل بودند. تجزیه تک نشانگری نشان داد که نشانگرهای روی کروموزوم ۷ با تحمل به سرما همبستگی دارند. با مکان یابی فاصله‌ای بر روی جمعیت  $F_2$  حاصل از تلاقی لاین ایزوژن و رقم حساس به سرمای توواواد، یک QTL برای تحمل به سرما بر روی بازوی بلند کروموزوم ۷ مکان یابی شد. این QTL ۲۱ تا ۲۱ درصد از واریانس فنتیپی را به ترتیب در نسل‌های  $F_2$  و  $F_3$  توجیه کرد. گیاهان نوترکیب به وسیله دو نشانگر RM182 و RM1132 در جمعیت  $F_2$  با تعداد ۲۸۱۰ نشانگر گیریال شدند. مکان یابی چندگانه انجام شد و این QTL در فاصله ۹۲ کیلویاژ بین نشانگرهای RI02905 و RM21862 قرار داشت. آندایا و تای (۲) مطالعه‌ای روی لاین‌های خالص نوترکیب حاصل از تلاقی M202 و IR50 (یک رقم ایندیکا که بسیار حساس به سرمایت) انجام دادند که موجب شناسایی تعدادی از QTL‌های مرتبط با مقاومت به سرما گردید. این مکان‌ها از طریق کاهش پژمردگی و نکروز عمل می‌کردند. QTL بزرگ اثر qCTS12 که بر روی بازوی کوتاه کروموزوم ۱۲ قرار داشت ۴۰ درصد واریانس فنتیپی را توجیه نمود. بهمنظور شناسایی ژن‌هایی که در همین ناحیه (qCTS12) قرار داشتند، نقشه‌یابی دقیق انجام شد. اشباع بازوی کوچک کروموزوم ۱۲ به وسیله نشانگرهای ریزمه‌هاره شان داد که RM2007 نزدیک ترین نشانگر به qCTS12 است.

با توجه به اهمیت تنش‌های غیر زیستی در ایران و نظر به اینکه در مورد تحمل به تنش سرما روی ارقام و لاین‌های برنج ایرانی تحقیقی انجام نشده است، این بررسی بهمنظور مکان یابی صفات کمی مرتبط با تحمل به سرما پایه ریزی شد.

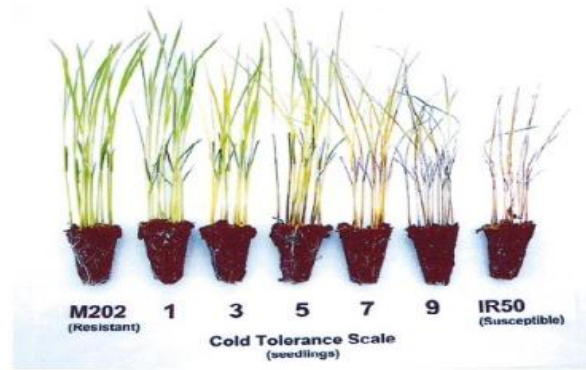
## مواد و روش‌ها

آزمایش مربوط به مطالعات فنتیپی در آزمایشگاه گیاه‌شناسی واقع در دانشگاه گیبد کاووس از تاریخ اردیبهشت سال ۱۳۹۲ تا دی‌ماه همان سال به روش گره‌گوریو و همکاران (۳) در شرایط کنترل شده اجرا شد. در این بخش از تحقیق ۶۵ لاین تصادفی حاصل از تلاقی عنبربو به عنوان والد متتحمل و سپیدرود به عنوان والد حساس به سرما مورد ارزیابی قرار گرفتند و آزمایش در قالب طرح بلوك کامل تصادفی در ۴ تکرار پیاده شد. لاین‌های مذکور برای تنش سرما تحت تنش دمای ۴ درجه سانتی‌گراد قرار گرفتند. همچنین تمامی لاین‌ها در شرایط بدون تنش (نرمال) نیز به عنوان تیمار شاهد کشت گردیدند. لاین‌های F<sub>8</sub> مذکور در محلول غذایی یوشیدا و همکاران (۱۵) کشت داده شدند. برای کشت از صفحه‌های یونولیت با ابعاد ۱۵۰×۲۲۰×۳۳ سانتی‌متر استفاده گردید. جهت این عمل ۱۱ مربع ۲۰×۲۰ سانتی‌متر در هر ردیف و ۱۰ مربع در هر ستون و در دو طرف صفحه نیز فضایی جهت قرار دادن دسته ۳ سانتی‌متری قرار داده شد. سپس توسط انتهای لوله ایزمایش به ابعاد ۱۰×۱۰ سواراخ‌هایی در مربع‌هایی مذکور ایجاد شد، بعد از آن شبکه نایلونی (Styrofoam) صفحه‌های از جنس پلاستیک با سوراخ‌های ریز که ریشه‌چهه‌ها از آن عبور داده شوند (نیز به ابعاد یونولیت‌های مورد نظر برش داده شدند و به کمک نخ و سوزن زیر این صفحات یونولیت، شبکه

ژاپونیکای حساس (Towada) به عنوان والد گیرنده به دست آمده بودند. لاین‌های BC5F3 توسعه داده شدند. تحمل به سرما در مرحله زایشی بر اساس باروری سنلچه‌ی خوش‌هه اصلی در دو سال و دو مکان مورد ارزیابی قرار گرفت. با استفاده از آستانه معنی‌دار LOD=۳ مکان یابی فاصله‌ای مرکب هشت QTL روی کروموزوم‌های ۱، ۴، ۵، ۱۰ و ۱۱ شناسایی شدند. تمامی آلل‌های تحمل به سرما از والد KMXBG بودند و فاصله نشانگری بین آنها ۵/۶–۰/۶ مانتی مورگان بود. چهار QTL، qCTB-1-1، qCTB-4-1، qCTB-5-2 و qCTB-10-1 و ۴ شناسایی شدند. جیانگ و همکاران (۵) از ۷۱ لاین خالص نوترکیب که بهمنظور شناسایی ژن‌های کنترل کننده صفات کمی (QTLs) موثر در تحمل به سرما در گیاهچه از تلاقی بین Asominori (ژاپونیکا) و IR24 (ایندیکا) ایجاد شده بودند، استفاده نمودند. میانگین مرک گیاهچه‌ای به عنوان شاخص تحمل به سرما در مرحله ۳ برگی، پس از تیمار سرما در ۶ درجه سانتی‌گراد به مدت هفت روز و در ۲۵ درجه سانتی‌گراد به مدت ۴ روز، در نظر گرفته شد. سه QTL موثر در تحمل به سرما در مرحله گیاهچه روی کروموزوم‌های ۱، ۵ و ۶ با LOD=۱/۴ از ۲/۲ تا ۲/۲ در مکان یابی فاصله‌ای مرکب ردیابی شدند. در این میان یک قرار داشت، QTL بزرگ اثری بود که در ناحیه XNpb87-2-c955 بر روی کروموزوم qSCT-1 که در ناحیه ۲۴/۵۱ از ۲۴/۵۱ درصد از کل تغییرات فنتیپی را توجیه کرد و این آلل مطلوب از والد ژاپونیکا بود. به علاوه آلل‌های IR24 در سایر مکان‌ها (qSCT-6 و qSCT) تحمل به سرما را افزایش دادند و این سه QTL در چهار لاین از قطعات کروموزومی جا به جا شونده IR24 تثبیت شدند. جایه‌جا شدن آلل‌ها از واریته ژاپونیکا به پس زمینه‌های ایندیکا راه موثری برای بهبود تحمل به سرما در برنج است. جیانگ و همکاران (۶) بر روی تحمل به سرما در مرحله گلدنه در دمای ۵ درجه سانتی‌گراد روی ۹۵ لاین جایگزین شده برنج تحقیق نمودند. نتایج نشان داد که شش لاین جایگزین شده دارای اثرات تحمل به سرمای بالاتری نسبت به ۹۳۱ بودند. مجموع چهار QTL برای گلدنه به وسیله نقشه‌یابی فاصله‌ای روی کروموزوم‌های ۵ و ۷ شناسایی شدند. ۱ qCTB-5-1، ۲ qCTB-5-2 و ۳ qCTB-5-3 به ترتیب یا فاصله ژنتیکی ۱۲/۷، ۲۱/۳ و ۲۷/۴ سانتی مورگان از RM2422-RM6054 و RM267-RM1237 RM3321-RM1054 بر روی کروموزوم ۵ مکان یابی شدند. ۷ با فاصله ۶/۸ سانتی مورگان از RM11 qCTB-7 ر روی کروموزوم ۷ ردیابی شد. ژو و همکاران (۱۹) بیان داشتند که دمای پایین در مرحله آبستنی تنشی جدی برای گیاه برنج به شمار می‌رود و تحمل به سرما صفت پیچیده ایست که توسط چندین مکان ژنی کنترل کننده صفات کمی (QTL) کنترل می‌گردد. آنها QTL برای تحمل به سرما در مرحله آبستنی در لاین تقریباً ایزوژن ZL1929-4 را مورد مطالعه قرار دادند. ۶۴۷ نشانگر SSR بر روی ۱۲ کروموزوم برنج برای دستیابی به نشانگرهای چند شکل روی لاین تقریباً ایزوژن ZL1929-4 و یک رقم ژاپونیکای حساس به سرمای (Towada) غربال گردیدند که ۹ نشانگر چند

هفت روز تعویض می‌شد. pH محلول نیز به وسیله اضافه نمودن HCl و NaOH در ۵/۵ ثابت نگه داشته شد و هفته‌ای سه بار کنترل گردید. برای اعمال سرما ۱۴ روز پس از رشد نرمال، گیاهچه‌ها در معرض دمای چهار درجه سانتی‌گراد به مدت دو هفته قرار گرفتند. برای تحمل به سرما بر اساس روش موسسه بین‌المللی برنج (۴) مطابق شکل (۱) برای هر لاین تعیین شد. جهت نمره‌دهی ژنوتیپ‌ها در تنش سرما، نمره ۱ به ژنوتیپ متحمل (همه برگ‌ها نرمال و هیچ‌گونه صدمه‌ای ندیده باشد) و نمره ۹ به ژنوتیپ حساس (همه برگ‌ها پژمرده و مرده باشد) براساس سیستم نمره‌دهی موسسه بین‌المللی تحقیقات برنج (شکل ۱) انجام شد (۴). صفات وزن ریشه، وزن ساقه، بیوماس، کد ژنتیکی، سطح برگ، طول ساقه، طول ریشه و ضخامت ریشه اندازه‌گیری شد.

نایلونی دوخته شد و دسته‌های مربوطه نیز جهت بلند کردن صفحه‌ها دوخته شدند و از سینی‌هایی به حجم ۱۰ لیتر و به ابعاد ۸/۵×۵/۳×۲/۵ سانتی‌متر که ضدغوفونی شده بود استفاده گردید و هر سینی تا شبکه نایلونی با آب مقطر پر گردید سپس صفحه‌های یونولیت روی سینی‌ها قرار داده شد، در هر سوراخ روی یونولیت سه بذر جوانه‌زده بوسیله پنس ضدغوفونی شده انتقال داده شده و از طرف ریشه‌چه داخل آب قرار گرفتند. بعد از انتقال بذور به سیستم کشت، سینی‌های مربوطه در داخل اتاق رشد در شرایط (۲۹ درجه سانتی‌گراد روز، ۲۱ درجه سانتی‌گراد شب، رطوبت ۷۰ درصد و شرایط نور طبیعی) قرار داده شدند. محلول غذایی یوشیدا در pH برابر ۵/۵ به سینی‌ها انتقال داده شد و گیاهچه‌های برنج تا دو هفته در محلول غذایی بدون تنش قرار داده شدند، محلول غذایی هر



شکل ۱- ارزیابی لاین‌ها در تنش سرما  
Figour 1. Evaluation of lines under cold stress

کشیدگی نشان‌دهنده‌ی کیفیت خیلی خوب DNA ژنومی استخراج شده است. در این پژوهش نقشه حاصل از شانگرهای SSR و AFLP به وسیله نشانگرهای ISSR اشیاع شد. به منظور تشخیص نشانگرهای چندشکل، ابتدا واکنش زنجیره‌ای پلیمراز تهها برای DNA والدینی (عنبربو و سپیدرود) برای ۴۰ آغازگر ISSR انجام شد. از این تعداد ۳۵ آغازگر، چندشکل مناسبی نشان دادند. در مرحله بعد نمونه‌های DNA لاین‌های نوترکیب با استفاده از ۳۵ آغازگر چندشکل که نواربندی واضح‌تری داشتند، تکثیر شدند و فرآورده‌های حاصل به منظور تعیین ژنوتیپ افراد الکتروفورز شدند.

#### مطالعات ژنوتیپی

در بهار سال ۱۳۹۲ اشیاع نقشه ژنتیکی تهیه شده توسط صبوری و همکاران (۱۲) با استفاده از ۴۰ نشانگر ISSR بر روی ۹۶ تک بوته F<sub>8</sub> انجام شد. مراحل استخراج DNA توسط روش سقای معروف و همکاران (۱۳) انجام یذیرفت. برای تعیین کیفیت DNA استخراج شده از الکتروفورز افقی استفاده شد و از طریق شدت باندهای تشکیل شده توسط هر نمونه در جریان الکتروفورز کیفیت نمونه‌ها تعیین شد. به این ترتیب که مشاهده یک باند ممتد کشیده و سرتاسری در کل مسیر حرکت DNA در روی ژل حاکی از شکسته شدن و کیفیت نامطلوب DNA ژنومی استخراج شده است و مشاهده یک باند اضافی در پایین ژل افقی نشان‌دهنده‌ی وجود RNA در نمونه‌ها می‌باشد. مشاهده‌ی باندهای کاملاً واضح و بدون

## جدول ۱- لیست آغازگرها ISSR

Table 1. ISSR primers list

شماره	توالی	دماه اتصال	شماره	توالی	دماه اتصال
۱	CAGCAGCAGCAGCAG	۵۴	۲۱	AGAGAGAGAGAGAGAGC	۵۹
۲	CTCTCTCTCTCTCTT	۴۵	۲۲	GAGGAGAGAGAGAGAGG	۵۹
۳	CCACCACCAACACCA	۴۷	۲۳	GAGAGAGAGAGAGAGAT	۵۳
۴	ATGATGATGATGATG	۴۲	۲۴	GAGAGAGAGAGAGAGAA	۵۳
۵	CAACAACAACAACAA	۴۷	۲۵	CTCTCTCTCTCTCTT	۵۳
۶	ACTGACTGACTGACTG	۴۶	۲۶	CTCTCTCTCTCTCTG	۴۸
۷	GTGTGTGTGTGTCC	۴۲	۲۷	CACACACACACACAT	۵۴
۸	AACAAACAACAACAAACG	۴۳	۲۸	CACACACACACACAA	۵۴
۹	ACACACACACACACACTA	۵۰	۳۰	CACACACACACACAG	۵۴
۱۰	ACACACACACACACACAG	۵۲	۳۱	GTGTGTGTGTGTGTC	۵۹
۱۱	ACAG ACAG ACAG ACAG	۵۰	۳۲	GTGTGTGTGTGTGTT	۵۹
۱۲	CAGCAGCAGCAGCAGA	۵۲	۳۳	TCTCTCTCTCTCTCA	۵۴
۱۳	CTCTCTCTCTCTCTCG	۵۵	۳۴	TCTCTCTCTCTCTCC	۵۴
۱۴	CTGTCGTCTGTCGTGTC	۵۲	۳۵	TCTCTCTCTCTCTCG	۵۴
۱۵	GGAAGGAAGGAAGGAAGGAAT	۵۲	۳۶	ACACACACACACACACT	۶۲
۱۶	GTAGTAGTAGTAGTAGTAC	۴۰	۳۷	ACACACACACACACACC	۵۴
۱۷	GTCGTCGTCGTCGTC	۵۰	۳۸	TGTGTGTGTGTGTG	۵۲
۱۸	GTTGTTGTTGTTGTTA	۴۲	۳۹	GAATGAATGAATGAAT	۵۲
۱۹	TCTTCTCTCTCTCTCTG	۴۲	۴۰	CCTACCTACCTACCTA	۵۲
۲۰	TGATGATGATGATGAA	۴۰			

استفاده شد. تهیه نقشه با استفاده از توابع کوزامبی (۸) انجام شد. همچین جهت تهیه نقشه پیوستگی از نرم افزار Map Manager QTX17 و نهایتاً برای انجام مکان یابی QTL Cartographer 2.5 صفات مورد بررسی از نرم افزار استفاده شد.

## نتایج و بحث

## تجزیه واریانس مرکب لاین‌ها

نتایج تجزیه واریانس مرکب نشان داد که که در شرایط سرما و نرمال تفاوت معنی‌داری بین لاین‌ها از لحاظ صفات مختلف وجود داشت (جدول ۲). این تفاوت ناشی از تنوع موجود بین لاین‌ها بود. همچنین با توجه به اینکه اثر متقابل لاین‌ها × شرایط محیطی معنی‌دار شد، مقایسه میانگین‌ها به تفکیک شرایط مورد بررسی قرار گرفت.

برای الکتروفورز محصول PCR و آشکارساز DNA هدف از ژل آگارز ۱/۵ درصد استفاده شد و سپس به نسبت هشت میکرولیتر محصول PCR و دو میکرولیتر محلول رنگی بارگذاری بر روی چاهک‌های ژل بارگذاری شدند. الکتروفورز با ولتاژ ثابت ۷۵ ولت به مدت ۶۵ دقیقه انجام شد. برای عکس برداری باندها، دستگاه ژل داک استفاده شد و همچنین از ژل پلی اکریل آمید شش درصد برای جاسازی محصولات PCR استفاده شد. در چاهک ابتدای ژل سه میکرولیتر از محلول DNA ladder 1Kb + آب دوبار تقطیر+ بافر بارگذاری به منظور تعیین اندازه قطعات، ریخته شد.

## تجزیه داده‌ها

در این بررسی هر کدام از دو شرایط تنفس و نرمال به صورت محیط در نظر گرفته شدند و آزمایش به صورت تجزیه مرکب اجرا شد. جهت تجزیه داده‌های فتوتیپی (تجزیه واریانس و مقایسه میانگین) از نرم افزار SAS-9

## جدول ۲- تجزیه واریانس مرکب لاین‌ها

Table 2. Combined ANOVA of lines

درجه آزادی	درجه	میانگین مربعات	بیوماس	وزن ساقه	وزن ریشه	وزن ساقه	بیوماس	کد ژنتیکی	طول برگ	سطح ساقه	طول ساقه	طول ریشه	ضخامت ریشه
۱	محیط	۹۲/۴۰۹**	۲۵۹۳/۳۲۹۰	۱۶۴۶۷۴/۶۸۰**	۹۸۷۱۶/۰۴۲**	۷۴۱/۴۵۷**	۵۷۵۶/۸۰**	۶۷۵۶/۸۰**	۵/۷۸۲	۰/۵۷۴	۰/۰۵۲	۰/۰۱۴	۰/۰۱۴
۶	خطا اول	۰/۱۱	۱/۱۶	۷۳/۶۸۶	۵/۷۸۲	۰/۰۱۴	۰/۰۱۴	۰/۰۱۴	۰/۰۱۶	۰/۰۱۶	۰/۰۱۶	۰/۰۱۶	۰/۰۱۶
۹۵	لاین	۰/۱۳۸**	۱۴/۶۹۰**	۳۲۰/۵۸۰**	۱۰۳/۳۹۰**	۰/۹۹۴**	۰/۱۲۶**	۰/۱۲۶**	۰/۶۸۳**	۰/۶۸۳**	۰/۶۸۳**	۰/۶۸۳**	۰/۶۸۳**
۹۵	محیط×لاین	۰/۱۱۳**	۱۳/۸۲۲**	۵۶۷/۲۴**	۱۰۹/۶۶۵**	۰/۰۳۱**	۰/۰۲۶**	۰/۰۲۶**	۰/۶۴۳**	۰/۶۴۳**	۰/۶۴۳**	۰/۶۴۳**	۰/۶۴۳**
۵۷۰	خطا دوم	۰/۰۰۹	۲/۹۲۳	۱۳/۹۸۸	۵/۱۰۸	۰/۰۲۵	۰/۰۰۲	۰/۰۰۲	۰/۰۱۷	۰/۰۱۷	۰/۰۱۷	۰/۰۱۷	۰/۰۱۷
ضربی		۲۳/۸۲۱	۱۷/۸۹۵	۱۰/۸۶۷	۱۶/۸۹۷	۱۸/۸۱۹	۱۴/۰۵۰	۱۴/۶۷۸	۱۷/۶۷۹				

\*\* و \*: به ترتیب نشان‌دهنده عدم اختلاف معنی‌دار، معنی‌دار در سطح احتمال ۱٪ و ۵٪ است. ns

طول ریشه و ضخامت ریشه در سطح احتمال ۱ درصد معنی‌دار بود که نشان‌دهنده وجود تنوع ژنتیکی بین لاین‌ها از نظر صفات مورد بررسی در شرایط نرمال و تنفس سرما بود (جدول ۳ و ۴).

تجزیه واریانس ساده در شرایط نرمال و سرما تجزیه واریانس در شرایط نرمال و تنفس سرما نشان داد که اختلاف بین لاین‌ها برای کلیه صفات از جمله وزن ریشه، وزن ساقه، بیوماس، کد ژنتیکی (در شرایط تنفس)، طول ساقه،

جدول ۳- تجزیه واریانس ساده در شرایط نرمال

Table 3. Simple ANOVA under normal condition

ضخامت ریشه	میانگین مربوط							درجه آزادی
	طول ریشه	طول ساقه	طول برگ	سطح برگ	بیomas	وزن ساقه	وزن ریشه	
۰/۰۴۳**	۲/۱۲۸**	۱۴۵/۱۳۵**	۲/۷۰۰**	۰/۰۰۳**	۰/۰۰۷**	۰/۰۰۴**	۳	تکرار
۰/۱۹۳**	۱۷/۰۰۱**	۵۵۲/۶۲۵**	۲۰/۱۲۲**	۰/۰۷۹**	۰/۰۴۱**	۰/۰۱۱**	۹۵	لاین
۰/۰۳۶	۴/۰۵۲	۹/۸۲۶۵	۲/۶۶۱	۰/۰۱۳	۰/۰۰۹	۰/۰۰۳	۲۸۵	خطا
۱۶۴۴۲	۲۶/۵۱	۳۱/۷۴	۸/۸۸۵	۱۲/۰۳۶	۹/۷۴	۴/۳۲۱		ضریب تغییرات

\*\* و \*: به ترتیب نشان‌دهنده عدم اختلاف معنی‌دار، معنی‌دار در سطح احتمال ۱٪ و ۵٪ است.

جدول ۴- تجزیه واریانس ساده در شرایط سرما

Table 4. Simple ANOVA under cold condition

ضخامت	میانگین مربوط							درجه آزادی
	طول ریشه	طول ساقه	طول برگ	کد ژنتیکی	بیomas	وزن ساقه	وزن ریشه	
۰/۰۰۴**	۲/۹۹۰**	۱۴۷/۳۱۸*	۱/۵۸**	۱/۱۴۰**	۰/۰۹**	۰/۰۰۵**	۳	تکرار
۰/۰۰۸*	۱۵/۹۴۶**	۱۸۹/۶۹۵**	۷/۱۸۲**	۷/۰۰۲**	۰/۰۴۸**	۰/۰۳۱**	۹۵	لاین
۰/۰۰۴	۵/۸۰۹	۲۷/۸۹۹	۱/۰۲۱	۱/۱۱۴	۰/۰۰۶	۰/۰۰۴	۲۸۵	خطا
۱۰/۰۸۹۳	۳۱/۲۳۳	۲۶/۷۱۱	۵/۰۷۷۱	۱۵/۲۲۶	۵۷/۱۶۶	۷۱/۸۵۷	۴۹/۹۸۷	ضریب تغییرات

\*\* و \*: به ترتیب نشان‌دهنده عدم اختلاف معنی‌دار، معنی‌دار در سطح احتمال ۱٪ و ۵٪ است.

## مقایسه میانگین لاین‌ها در شرایط نرمال و تنش سرما

مقایسه میانگین لاین‌ها در شرایط نرمال نشان داد که برای صفات وزن ریشه، وزن ساقه، بیomas و سطح برگ لاین شماره ۹ بالاترین میزان را دارا بود. برای صفات سطح برگ، طول ساقه و طول ریشه لاین‌های ۲۰ و ۱۷ به ترتیب دارای کمترین مقدار بودند. همچنین لاین ۱۷ بیomas، وزن ساقه و ریشه پایینی نیز داشت. لاین‌های ۵ و ۵ به ترتیب دارای بیشترین و کمترین میزان ضخامت ریشه بودند. با توجه به اینکه شرایط نرمال بود و هیچگونه تنشی در این حالت اعمال نگردید، صفت کد ژنتیکی برای لاین‌ها ثابت نشد. مقایسه میانگین لاین‌ها نشان داد که لاین ۵ در شرایط سرما بالاترین مقدار وزن ریشه، ساقه، بیomas، سطح برگ و طول ساقه را دارا بود (جدول ارائه نشده است). با نظر به اینکه این لاین کمترین مقدار کد ژنتیکی را پس از لاین ۳ کسب نمود، احتمالاً تحمل حاصله را از طریق بالا بودن صفات فوق به دست آورد. بیشترین و کمترین میزان ضخامت ریشه به ترتیب مربوط به لاین‌های ۱۷ و ۷۹ بود.

جدول ۵- مقایسه میانگین صفات موردن بررسی بین والدین در شرایط نرمال

Table 5. Compare means of traits for parents under normal condition

t	سپیدرو	عنبریو	صفت
۱۲/۹۲۰**	-۰/۲۵۰	۲/۹۹	وزن ریشه (گرم)
۲/۷۴۶**	-۰/۳۰	-۰/۲۸	وزن ساقه (گرم)
۱۰/۷۲۰/۶۴۳**	-۰/۳۳۶	۳/۳۳۳	زیست توده (گرم)
۱۱۳/۷۱۴**	-۰/۶۱	۱/۴۳	سطح برگ (سانتی متر)
۴/۹۷۹*	۱۳/۰	۱۹/۵	طول ساقه (سانتی متر)
۴۷/۶۶۷**	۸/۸	۱۱/۷	طول ریشه (سانتی متر)
۹۴۸/۰۴۰**	-۰/۴۶۴	۱/۵۸۸	ضخامت ریشه (میلی متر)

\*\* و \*: به ترتیب نشان‌دهنده عدم اختلاف معنی‌دار در سطح احتمال ۱٪ و ۵٪ است.

سایر QTL‌های یافته شده برای این صفت می‌باشد ولی به دلیل کم بودن مقدار آن می‌توان آن را جزو QTL‌های کوچک اثراً دانست. همچنین qNRW-9b با فاصله نشانگری ۷/۶۶۷\*\* و نسبت درست‌نمایی ۲/۳۸۵ قرار داشتند. در فاصله نشانگری E080-M160-3-RM6843 با اثر افزایشی ۰/۳۵۶-۰/۰۳۰ کاهش میزان صفت مذکور در افراد گردید (جدول ۴). برای وزن ساقه سه QTL مکان‌یابی شد (کروموزوم‌های ۱، ۲ و ۴).

برای صفت وزن ریشه در شرایط نرمال چهار QTL مکان‌یابی شد که یک QTL ببروی هر یک از کروموزوم‌های ۲، ۷ و دو QTL بر روی کروموزوم ۹ قرار داشتند. qNRW-2 در فاصله نشانگری E080-M160-3-RM6843 با اثر افزایشی ۰/۴۱۳ و نسبت درست‌نمایی ۲/۳۸۵ قرار داشت. هرچند که این QTL دارای بالاترین درجه تبیین نسبت به

کروموزوم‌های ۵ و ۶ (دو QTL) و ۷، ۴، ۲، ۱، (QTL) داشتند. به جزء QTL‌های qNRTH-4، qNRTH-2، qNRTH-10 و qNRTH-9 سایر QTL‌های شناسایی شده موجب کاهش ضخامت ریشه شدند. qNRTH-1، qNRTH-6b و qNRTH-3/۱۸۹ ۳/۴۴۳ و ۳/۱۲۱ LOD به ترتیب با ۰/۰۴۳ و ۰/۰۴۶ حدود ۱۴/۴۳ درصد تغییرات را در جهت کاهشی QTL حدود ۱۶/۰۳ درصد تغییرات را با ۰/۰۴۲ LOD به ترتیب با ۰/۰۴۶ و ۰/۰۴۷ LOD درجه تغییرات را در جهت افزایشی توجیه کرد. به طور کلی برای صفات مورد بررسی در شرایط نرمال ۲۵ QTL شناسایی گردید که دو بزرگ اثر و مربوط به صفت وزن ساقه بودند. لازم به ذکر است که این QTL‌ها درای اثر افزایشی منفی بودند. برای وزن و ضخامت ریشه یک QTL مشترک بر روی کروموزوم ۲ مکان‌یابی گردید. این QTL در فاصله نشانگری E080-M160-3-RM6843 قرار داشت. دو QTL مشترک برای وزن و طول ساقه مکان‌یابی شد. این QTL‌ها به ترتیب بر روی کروموزوم‌های ۲ و ۴ قرار داشتند. QTL مشترک روی کروموزوم ۴ در حد فاصل شناسگرهای ۴- E070-M150-4- RM1359- قرار داشت. این QTL همچنین برای صفت ضخامت ریشه شناسایی شد. QTL E070-M150-6- ISSR20-10 که بر روی کروموزوم ۹ قرار داشت بطور مشترک در صفات طول و ضخامت ریشه مکان‌یابی شد.

که به ترتیب دارای LOD ۳/۱۲۵ و ۴/۰۴۵ و ۴/۰۳۷ می‌باشد. ۲۱/۵ qNSW-2 با فاصله نشانگری RM8254 به میزان ۰/۰۴۰ درصد تغییرات فتوتیپی را توجیه نموده، اما موجب کاهش این صفت به میزان ۰/۰۴۰ شد. همچنین ۴- qNSW-4 با فاصله ۰/۰۴۶ LOD مقدار ۲۰/۷ درصد از نشانگری ۴- E070-M150-4- RM1359- کل تغییرات را توجیه نمود و اثر افزایشی آن ۰/۰۴۶ بود. qNLA-8 با فاصله نشانگری RM6844 تنها QTL است که برای صفت سطح برگ یافت گردید دارای ۰/۰۴۷ LOD بوده و با درجه تبیین ۱۱/۸ درصد، موجب کاهش سطح برگ به میزان ۰/۰۴۰ می‌گردد. QTL شناسایی شده برای طول ساقه بر روی کروموزوم‌های ۲ (دو QTL)، ۶، ۴ و ۱۰ قرار داشتند. اثر افزایشی هر QTL منفرد از ۰/۰۵۷- تا ۰/۰۱۰ متغیر بود. در همه QTL‌های شناسایی شده به جز ۱۰ آلل سپیدرود موجب کاهش طول ساقه شد. qNSL-6، qNSL-4 و به ترتیب با ۰/۰۷۰- ۰/۰۸۹۷ LOD ۳/۰۹۷ هر کدام بیش از ۱۳/۳۵ تغییرات را در جهت منفی و ۰/۰۳/۷ LOD با ۰/۰۳۷ qNSL-10 QTL به میزان ۱۴/۷ درصد از تغییرات را در جهت مثبت توجیه نمود. برای طول ریشه دو QTL بر روی کروموزوم‌های ۹ و ۱۱ با اثر کاهشی آلل سپیدرود شناسایی شد. عمل این ژن به صورت افزایشی و به سمت کاهش طول ریشه بود. این QTL حدود ۱۳/۲۵ درصد از تغییرات فتوتیپی طول ریشه را توجیه نمودند. ده QTL کنترل کننده ضخامت ریشه بر روی

جدول ۶- مکان، نسبت درست‌نمایی، اثر افزایشی و جهت اثر QTL‌های ردیابی شده برای شرایط نرمال

جهت آل	درجه تبیین	اثر افزایشی	LOD	نشانگرهای مجاور	مکان QTL	کروموزوم	QTL	صفات
عنبربو	-۰/۱۸	-۰/۰۱۳	۲/۰۸۵	E080-M160-3-RM6843	۱۲	۲	qNRW-2	
عنبربو	-۰/۱۴	-۰/۰۴۹	۲/۰۹۸	E070-M140-8-ISSR1-12	۱۱۴	۷	qNRW-7	
عنبربو	-۰/۱۷	-۰/۰۲۷	۲/۰۶۲	RM524-RM7390	۲۸	۹	qNRW-9a	وزن ریشه
سپیدرود	-۰/۰۹۳	-۰/۰۳۶	۲/۰۴۵	ISSR20-10-E070-M150-7	۹۲	۹	qNRW-9b	
سپیدرود	-۰/۱۱۴	-۰/۰۴۳	۳/۰۳۵	ISSR34-1-E080-M150-4	۹۰	۱	qNSW-1	
سپیدرود	-۰/۲۱۵	-۰/۰۴	۵/۰۴۵	RM8254	۱۰۰	۲	qNSW-2	وزن ساقه
سپیدرود	-۰/۲۰۷	-۰/۰۴۶	۴/۰۳۷	RM1359-E070-M150-4	۲۴	۴	qNSW-4	
سپیدرود	-۰/۱۱۸	-۰/۰۱۴	۲/۰۶۷	ISSR23-4-RM6845	۹۴	۸	qNLA-8	سطح برگ
سپیدرود	-۰/۱۷۲	-۰/۰۵۶	۳/۰۹۴۵	RM8254	۱۰۰	۲	qNSL-2a	
سپیدرود	-۰/۱۱۷	-۰/۰۴۳	۲/۰۹۴	RM7245-RM427	۱۵۴	۲	qNSL-2b	
سپیدرود	-۰/۱۳	-۰/۰۰۷	۲/۰۸۹۷	RM1359-E070-M150-4	۳۴	۴	qNSL-4	طول ساقه
سپیدرود	-۰/۱۳۷	-۰/۰۰۵۶	۳/۰۷۹	ISSR27-11-RM276	۴۲	۶	qNSL-6	
عنبربو	-۰/۱۴۶	-۰/۰۱	۳/۰۷۹	ISSR2-10-ISSR33-1	۱۲۰	۱۰	qNSL-10	
سپیدرود	-۰/۱۱۵	-۰/۰۰۴۹	۲/۰۴۹	E070-M150-6-ISSR20-10	۹۰	۹	qNRL-9	طول ریشه
سپیدرود	-۰/۱۵	-۰/۰۰۳۸	۳/۰۸۱	E120-M160-11-ISSR20-4	۲۴	۱۱	qNRL_11	
سپیدرود	-۰/۱۳۹	-۰/۰۲۱	۳/۰۱۲۱	E080-M150-4-E090-M160-8	۹۲	۱	qNRTH-1	
عنبربو	-۰/۱۱۶	-۰/۰۱۶۱	۲/۰۶۲	E080-M160-3-RM6843	۲۰۴	۲	qNRTH-2	
عنبربو	-۰/۱۱۸	-۰/۰۱۰۹	۲/۰۶۱	RM1359-E070-M150-4	۲۴	۴	qNRTH-4	
سپیدرود	-۰/۱۲	-۰/۰۲۶۱	۲/۰۷۴	E110-M140-8-ISSR19-1	۱۰	۵	qNRTH-5a	
سپیدرود	-۰/۱۱۴	-۰/۰۲۶۸	۲/۰۵۱۵	ISSR6-4-ISSR25-2	۸۲	۵	qNRTH-5b	ضخامت
سپیدرود	-۰/۱۱۳	-۰/۰۱۳۸	۲/۰۹۳	ISSR1-2-ISSR4-6	۳۶	۶	qNRTH-6a	ریشه
سپیدرود	-۰/۱۵۲	-۰/۰۲	۳/۰۴۴۳	E090-M160-2-ISSR14-2	۱۴۰	۶	qNRTH-6b	
سپیدرود	-۰/۱۲۲	-۰/۰۲۳۴	۲/۰۷۰	E070-M140-9-ISSR13-4	۱۱۸	۷	qNRTH-7	
سپیدرود	-۰/۱۴۲	-۰/۰۱۹۱	۳/۰۱۸۹	E070-M150-6-ISSR20-10	۹۰	۹	qNRTH-9	
عنبربو	-۰/۱۶۳	-۰/۰۴۶۴	۳/۰۷۱۲	ISSR30-1-ISSR12-4	۱۰	۱۰	qNRTH-10	

همچنین اثر افزایشی در این QTL در جهت افزایش مقدار آن به میزان ۹۲/۴۸۵ عمل نمود. ژو و همکاران (۱۴) مجموع چهار QTL برای گلدهی به وسیله نقشه یابی فاصله‌ای روی کروموزوم‌های ۵ و ۷ شناسایی کردند. QTL مکان‌یابی شده برای ضخامت ریشه qCRTTH-11 با فاصله نشانگری E060-5 QTL E090-5- M150-5 LOD ISSR34-5- ۳/۲۰۵ بود. این QTL کوچک اثر ۱۴/۳ درصد از تنوع فتوتیپی را با اثر افزایشی آلل عنبربو توجیه نمود. ژو و همکاران (۱۴) نیز برای تحمل به سرما هشت QTL روی کروموزوم‌های ۱، ۴، ۵ و ۱۱ شناسایی کردند. ژنگ و همکاران (۱۷) دو QTL در کروموزوم ۱۱ یافته‌نشد که جوانهزنی بالا در دمای پایین را کنترل می‌کرد. در شرایط سرما به طور کلی شش QTL مکان یابی گردید که در این بین دو QTL دارای اثر افزایشی منفی (وزن ساقه و سطح برگ) و سایرین مثبت بودند. در این QTL تنوع برگ اثر یافت شد. کروموزوم ۵ دارای یک QTL مشترک برای سطح برگ و طول ساقه، در حد فاصل نشانگرهای ISSR30-4- E080-M160-6 بود. همچنین برای صفات وزن ساقه و سطح برگ QTL مشترکی بر روی کروموزوم ۱۲ شناسایی شد.

در شرایط نرمال و سرما لاین‌های مورد بررسی تفاوت معنی‌داری از نظر کلیه صفات با یکدیگر داشتند. لاین ۵ در شرایط سرما بالاترین مقدار وزن ریشه، ساقه، بیوماس، سطح برگ و طول ساقه را دارا داشت. نقشه حاصل از ISSR و AFLP و SSR با استفاده از ۳۵ نشانگر چند شکل اشباع شد به طوری که ۱۷۰/۹/۲۹ سانتی‌مورگان از ژنوم برنج را پوشش دادند. در شرایط نرمال QTL ۲۵ نشانگرهای AFLP و SSR با استفاده از ۳۵ نشانگر شناسایی گردید که دو QTL بزرگ اثر و مربوط به صفت وزن ساقه بودند. برای وزن و ضخامت ریشه یک QTL مشترک بر روی کروموزوم ۲ مکان‌یابی گردید. این QTL در فاصله نشانگری E080-M160-3-RM6843 قرار داشت. در شرایط سرما به طور کلی ۶ مکان‌یابی گردید که در این بین دو QTL برای اثر افزایشی منفی (وزن ساقه و سطح برگ) و سایرین مثبت بودند. qCBM-4، qCRL-5، qCLA-5، qCRTTH-11 برای ضخامت ریشه به ترتیب ۱۴/۳، ۱۳/۴، ۱۲/۶ درصد از تغییرات مربوط به صفت را توجیه نمودند. با توجه به مثبت بودن اثرات افزایشی، از آن‌ها می‌توان پس از تعیین اعتبار در برنامه‌های انتخاب به کمک نشانگر جهت بهبود تحمل گیاهچه‌های برنج استفاده نمود.

### مکان‌یابی صفات کمی در شرایط تنفس سرما

نتایج مقایسه میانگین والدین برای صفات مورد بررسی اختلاف معنی‌دار آنها را نشان دادند و همچنین عنبربو برای تمامی صفات به جز کد ژنتیکی دارای مقادیر بالاتری نسبت به سپیدرود بود (جدول ۷). کد ژنتیکی پایین‌تر متعلق به عنبربو والد متحمل بود. برای وزن ساقه در سرما تنها یک QTL برروی کروموزوم ۱۲ مکان‌یابی شد. qCSW-12 QTL با LOD E090-M160-4- ISSR1-8 ۱۴/۱ توانست تغییراتی فتوتیپی این صفت را به میزان ۱۴/۱ درصد در جهت کاهش وزن ساقه توجیه کرد (جدول ۱۸-۴). آنداها و مکیل (۱) یک QTL بزرگ اثر را روی کروموزوم ۱۲ شناسایی کردند و آن را qCTS12a نامیدند که به طور معنی‌داری با مقاومت به سرما همبستگی داشت و حدود ۴۱ درصد تنوع فتوتیپی را شامل می‌شد. آنداها و تای (۲) مطالعه ای روی لاین‌های خالص نوترکیب حاصل از تلاقی M202 و IR50 (یک رقم ایندیکا که بسیار حساس به سرماست) انجام دادند و یک QTL بزرگ اثر qCTS12 که بر روی بازوی کوتاه کروموزوم ۱۲ قرار داشت و تحمل به سرما را کنترل می‌نمود، را مکان‌یابی کردند. qCBM-4 QTL بر روی کروموزوم ۴ برای صفت زیست توده در سرما شناسایی گردید. این QTL با دارا بودن LOD ۲/۸۹۸، به میزان ۱۳/۴ درصد از تغییرات را فتوتیپی زیست توده را با توجه به اثر افزایشی (۰/۱۳۴) در جهت مثبت، توجیه نمود. ژو و همکاران (۱۴) در مطالعه‌ای بر روی تحمل به سرما پهار QTL، qCTB-1-1 و ۴ مکان‌یابی کردند. دو QTL کنترل کننده سطح برگ بر روی کروموزوم‌های ۵ و ۱۲ مکان‌یابی شدند. qCTB-10-1، qCTB-5-2، qCTB-4-1 و qCTB-1-1 در کروموزوم ۱۲ سطح برگ داشت و ۱۴/۳ درصد از تنوع فتوتیپی برای این صفت را در جمعیت مورد مطالعه توجیه نمود. در qCLA-12 با فاصله نشانگری ۸-۱۰ E090-M160-4- ISSR1-8 آلل سپیدرود موجب کاهش سطح برگ شد. ژنگ و همکاران (۱۷) یک QTL در کروموزوم ۱، ۳، ۵، ۴، ۶، ۹، ۸، ۷، ۱۲، ۱۰، دو، ۱ و ۱۱ یافته‌ند که جوانهزنی بالا در دمای پایین را کنترل می‌کنند. نتایج حاصل از مکان‌یابی فاصله‌ای برای طول ساقه در سرما تنها یک QTL کوچک اثر در حد فاصل نشانگرهای ISSR30-4- E080-M160-6 ۲/۸۱۳ روی کروموزوم ۵ شناسایی کرد. این QTL توانست ۱۲/۶ درصد از تغییرات فتوتیپی این صفت را توجیه نماید.

جدول ۷- مقایسه میانگین صفات مورد بررسی بین والدین در شرایط سرما

Table 7. Compare means of traits for parents under cold condition

صفت	عنبربو	سبیدرود	عنبربو	سبیدرود
وزن ریشه	۰/۱۳۹	۰/۰۱۵	وزن ساقه	۰/۱۹
وزن ساقه	۰/۳۳	۰/۰۱	زیست توده	۰/۳۲
کد ژنتیکی	۰/۰۷۰	۰/۰۳	کد ژنتیکی	۰/۰۳
سطح برگ	۱	۹/۰	سطح برگ	۹/۰
طول ساقه	۳۶	۷/۵۷۵	طول ساقه	۷/۵۷۵
طول ریشه	۱۲/۳۷۵	۲/۵	طول ریشه	۱۲/۳۷۵
ضخامت ریشه	۰/۳۵۲	۰/۰۱	ضخامت ریشه	۰/۳۵۲

\*\*: به ترتیب نشان‌دهنده اختلاف معنی‌دار در سطح احتمال ۱% و ۵% است.

جدول ۸- مکان، نسبت درستتمایی، اثر افزایشی و جهت اثر QTL های ردیابی شده برای صفت سرما

جهت آل	درجه تبیین	اثر افزایشی	LOD	شانگرهای مجاور	مکان QTL	کروموزوم	QTL	صفات
سپیدرود	.۱۴۱	-.۰۵۴	.۱۵۹	E090-M160-4-ISSR1-8	۷۸	۷	<i>qCSW-12</i>	وزن ساقه
عنبربو	.۱۳۴	.۰۱۳۴	۲/۸۹۸	E060-M160-3-RM1359	۱۶	۴	<i>qCBM-4</i>	زیست توده
عنبربو	.۱۴۳	۲/۴۳۸	۳/۲۰۶	ISSL30-4-E080-M160-6	۱۶	۵	<i>qCLA-5</i>	سطح برگ
سپیدرود	.۱۳۱	-.۰۱۸	۲/۹۱۸	E090-M160-4-ISSR1-8	۷۸	۷	<i>qCLA-12</i>	طول ساقه
عنبربو	.۱۲۶	۹۲/۴۸۵	۲/۸۱۳	ISSL30-4-E080-M160-6	۱۶	۵	<i>qCRL-5</i>	طول ساقه
عنبربو	.۱۴۳	.۰۰۲۹	۳/۲۰۵	ISSL34-5-E060-M150-5	۵۸	۱۱	<i>qCRTH-11</i>	ضخامت ریشه

### منابع

- Andaya, V.C. and D.J. Makill. 2003. QTLs conferring cold tolerance at the booting stage of rice using recombinant inbred lines from *japonica* × *indica* crosses. Theoretical and Applied Genetics, 106: 1084-1090.
- Andaya, V.C. and T.H. Tai. 2006. Fine mapping of the qCTS12 locus, a major QTL for seedling cold tolerance in rice, at the booting stage of rice using recombinant inbred lines from *japonica* × *indica* crosses. Theoretical and Applied Genetics, 113: 467-475.
- Gregorio, G.B., D. Senadhira and R. Mendoza. 1997. Screening rice for salinity tolerance. IRRI. Dis. Paper No. Los Baños. Philipine, 22 pp.
- IRRI. 1988. Standard evaluation system for rice. International Rice Research Institute.
- Jiang, L., M. Xun., J. Wang and J. Wan. 2007. QTL analysis of cold tolerance at seedling stage in rice (*Oryza sativa* L.) using recombination inbred lines. Journaa of Cereal Sceince, 8-13.
- Jiang, W., Y. Jin, J. Lee, R. Piao, L. Han, J. Shin, R. Jin, T. Cao, H. Pan and H. Koh. 2011. Quantitative trait loci for cold tolerance of rice recombinant inbred lines in low temperature environments. Molecules and cells, 32: 579-87
- Jing, L., Z. Wen-yin, Z. Ya-dong, Z. Zhen, Z. Ling, C. Tao, Z. Qing-yong, Z. Li-hui, F. Xian-wen, W. Yan-ping and W. Cai-lin. 2011. Detection of QTL for cold tolerance at bud bursting stage using chromosome segment substitution lines in rice (*Oryza sativa* L.). Rice Science, 18: 71-74.
- Kosambi, D.D. 1944. The estimation of map distances from recombination values. Annual Eugenics, 12: 172-175.
- Lee, S., S. Ohc, Y. Choi, J. Suh, H. Ju, D. Yoon and S. Ahn. 2004. Mapping quantitative trait loci controlling cold tolerance in an *oryza sativa* × *O.rufipogon* BC1F7 population. Korean Journal Breeding, 36: 1-8.
- Lou, Q., Z. Sun, Y. Xing, X. Xu, H. Mei and L. Luo. 2007. A major QTL associated with cold tolerance at seedling stage in rice (*oryza sativa* L.) Euphytica, 158: 87-89.
- Mir Mohamadi Meybodi, S.A.M. and S. Tarkesh Esfahani. 2001. Phenological and breeding aspect of cold and freezing stress in crops. Golbon Esfahan press, 233 pp.
- Sabouri, H., A. Biabani, M. Katouzi, A. Sabouri, R. Khatami Nejhad, Sh. Mohammad Alegh, M. Najjar Ajam and M. Pirasteh. 2011. Relationship between genotype and phenotype in rice under drought stress. Research work in College of Agriculture Science and Natural Resource. Gonbad Kavous University, (In Persian). 144 pp.
- Saghi Maroof, M.A., R.M. Biyashev, G.P. Yang, Q. Zhang and R.W. Allard. 1994. Extraordinarily polymorphic microsatellites DNA in barely species diversity Choromosomal location and population dynamics. Proc. Natl. Acad. Sci, 91: 5466-5570.
- Xu, L.M., L. Zhou, Y.W. Zeng, F.M. Wang, H.L. Zhang, S.Q Shen and Z.C. Li. 2008. Identification and mapping of quantitative trait loci for cold tolerance at the booting stage in a japonica rice near-isogenic line. Plant Sceince, 340-347.
- Yoshida, S., D.A. Forno, J.H. Cock and K.A. Gomez. 1976. Laboratory manual for physiological studies of rice. IRRI, 61 pp.
- Zhan, Q., Y. Zhuk and Z. Chen. 2005. Studies on the QTL for cold tolerance related characters on rice seedling molecular markers. Hybrid Rice, 20: 50-55.
- Zhang, Q., S. Koji, K. Akira and Q. Zhan. 2003. Molecular mapping for seedling cold tolerance QTLs in rice. Hunan Agri Scieance Technology Newsletter, 4: 8-15.
- Zhang, Q., K. Zhu, Z. Chen and S. Zang. 2004. Mapping of QTLs controlling seedling cold tolerance in rice using F2 population. Journal of hunan Agricultural University, 30: 303-306.
- Zhou, L., Y. Zeng, W. Zheng, B. Tang, S. Yang, H. Zhang, J. Li and Z. Li. 2010. Fine mapping a QTL qCTB7 for cold tolerance at the booting stage on rice chromosome 7 using a near-isogenic line. Theoretical and Applied Genetics, 121: 895-905.

## Analysis of Genetic Structure of Cold Tolerance in Iranian Rice Recombinant Inbred Lines

Mahnaz Katouzi<sup>1</sup>, Saeid Navabpour<sup>2</sup>, Ahad Yamchi<sup>3</sup>, Seyedeh Sanaz Ramazanpour<sup>2</sup> and Hossein Sabouri<sup>4</sup>

1, 2 and 3- Graduated M.Sc. Student, Associate Professor and Assistant Professor, in Plant Breeding, Gorgan University of Agricultural Sciences and Natural Resources

4- Department of Plant Production, Faculty of Agriculture and Natural Resources, Gonbad Kavous University  
(Corresponding Author: hos.sabouri@gmail.com)

Receive: March 8, 2016

Accepted: June 5, 2016

### Abstract

Rice is one the most important crops in Iran and worldwide. Abiotic stresses including cold, restrict rice production. In order to saturation of linkage map in recombinant lines population caused by Sepidroud × Anbarbou crosses, an experiment was conducted using 96 recombinant lines and 40 ISSR markers at Gonbad Kavous University. 96 Recombinant lines were plant under hydroponic conditions for mapping of traits related to cold stress. Shoot weight, root weight, biomass, genetic score, leaf area, shoot length, root length and root thickness were recorded. Linkage map covered 1709.29 cM of rice genome. Six QTLs mapped in cold stress. qCLA-5 had the highest effects on leaf area with LOD=3.206 and explained 14.3 percent of phenotypic variation. The results of present work can be used for improvement of cold tolerance in rice seedlings after determining marker validation.

**Keywords:** Abiotic stresses, ISSR marker, Rice, Saturation of linkage map